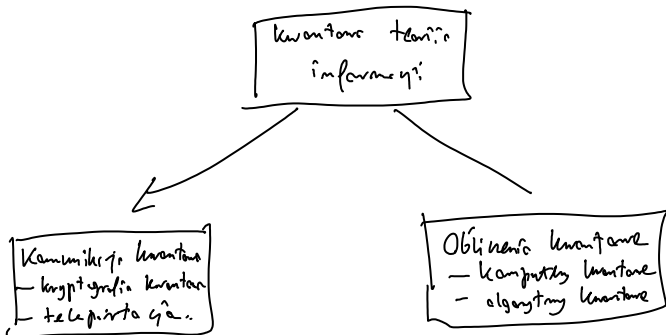


Obliczenia kwantowe

1. Wstęp

Kwantowa teoria informacji - przetwarzanie informacji korzystając z praw fizyki kwantowej, opieranie na pojedynczych układach kwantowych, atomach, fotonach



Dedykujesz możliwość podziału o komunikacji kwantowej
Czas znowu mówić o obliczeniach.

Obecne komputery też używają praw fizyki kwantowej:
struktura półprzewodników, tranzystory, momenty magnetyczne atomów (spin)

Ale ...

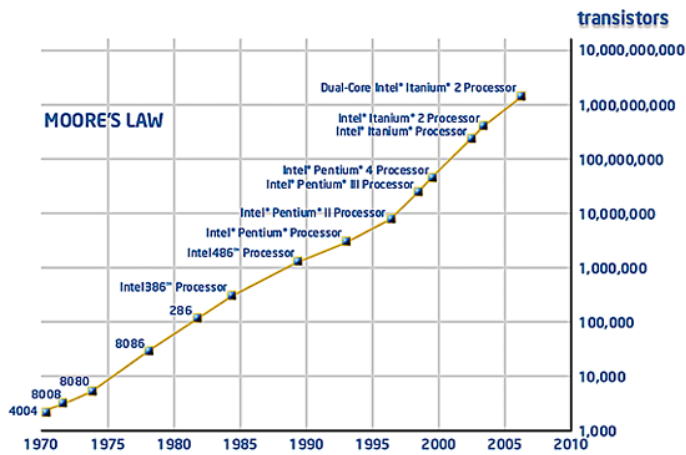
- 1 bit danych na dysku twardego: ($d \approx 0,5 \mu\text{m}$)

$$250 \text{ nm} \times 250 \text{ nm} \times 25 \text{ nm} \approx 12,5 \text{ mln atomów}$$

- 1 tranzystor w CPU

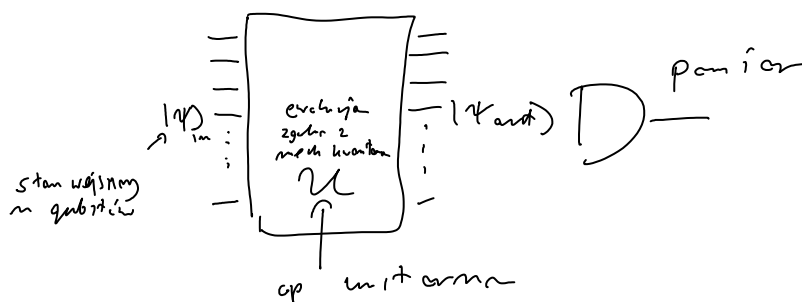
$$50 \text{ nm} \times 50 \text{ nm} \times 25 \text{ nm} \approx 500 \text{ tys atomów}$$

Winić dość dużo. Miałoby być na etapie żeby używać pojedynczych atomów do obliczeń i wykorzystać pełne możliwości fizyki kwantowej
Kiedy zajdziemy do poziomu 1 atomu.



Rozmiar tranzystora zmniejsza się dwa razy co 2 lata.
 Przewidywane odium ok. roku 2030-2050.
 Nowot jak to nastąpić nie oznacza to, że mamy
 już komputer kwantowy.
 Musimy mieć utęgnięci kwantowa superprędygła
 tdk aby móc wykorzystać potęgę mech. kwantowej

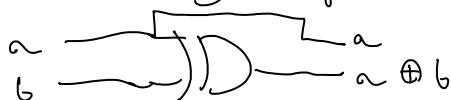
2. Idea



• Klasykne komputery budujemy z szeregiem z prostych elementów bramki:
 NOT, AND, OR, XOR.
 Wiadomo, że np. każdy układ logiczny można zbudować z bramki
 NAND.

• W klasycznych komputerach szeregiem używamy bramek nieodwracalnych
 (dużo: można również inaczej) $a \oplus b$ nie da się
 odwrócić i uzyskać
 z bitu wyjściowego

• Możemy używać w klasycznych obliczeniach bramek
 odwracalnych, występują np.



Kosztorys kandydatów obwodów. Zmierz się tego nie robi. Pamiętajmy jednak, że liczba w zasadzie jest odwracalna. Mechanicznie bierze się z tego iż po prostu ignorujemy jakieś stopnie swobody

- Myślic o kandydatach kwantowych mogą operacje unitarne -
 - które są odwracalne. Metoda oczywiście też zmieści mechaniczne np. stopnie po podjęciu z wyjątkami jednostek, ale to z drugiej strony kwantowe superpozycje, więc naprawdę ma sens! Ogranicz się więc do operacji unitarnych.

Chcemy mieć elementarne bramki

z których można złożyć dowolną op. U.

Bramki te muszą być odwracalne.

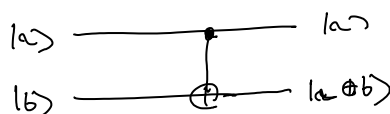
- Bramka CNOT

$$|0\rangle|0\rangle \longrightarrow |0\rangle|0\rangle$$

$$|0\rangle|1\rangle \longrightarrow |0\rangle|1\rangle$$

$$|1\rangle|0\rangle \longrightarrow |1\rangle|1\rangle$$

$$|1\rangle|1\rangle \longrightarrow |1\rangle|0\rangle$$

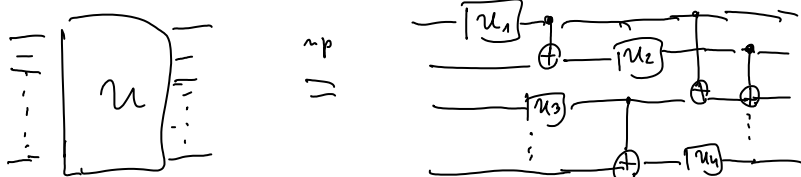


$$U_{\text{CNOT}} = \begin{bmatrix} 1 & 0 & 0 & 0 \\ 0 & 1 & 0 & 0 \\ 0 & 0 & 0 & 1 \\ 0 & 0 & 1 & 0 \end{bmatrix}$$

w bazie $|00\rangle, |01\rangle, |10\rangle, |11\rangle$.

Myśląc Wzajemnie to jest taki odwracalny XOR

Fakt Każda unogobitowa U może być rozłożona na jednogobitowe op. unitarne i bramki CNOT



W ogólności potrzebujemy więcej bramek jednogobitowych (co może oznaczać spływ Blocha) można np. wybrać:

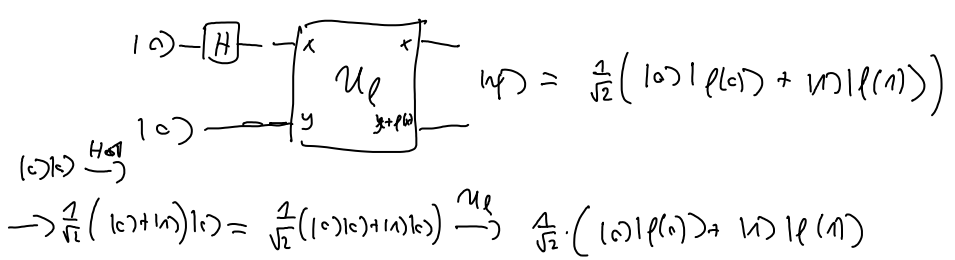
$\text{---} \boxed{H} \text{---}$ bramka Hadamarda $H = \frac{1}{\sqrt{2}} \begin{bmatrix} 1 & 1 \\ 1 & -1 \end{bmatrix}$ $\left\{ \begin{array}{l} H^2 = I \\ H^\dagger H = I \end{array} \right.$
 $\text{---} \boxed{U_\varphi} \text{---}$ operacja (rotacja (bramka kątowa) $U_\varphi = \begin{bmatrix} 1 & 0 \\ 0 & e^{i\varphi} \end{bmatrix}$ (np. $\varphi = \frac{\pi}{2}$ (inwersja fazy))

3. Kwantowy Parallelizm - dlaczego komputer kwantowy ma szansę być szybszy?

Idea: $f: \{0,1\} \rightarrow \{0,1\}$ jedna bitowa funkcja $f(0), f(1)$

Wyobraźmy sobie że kodujemy funkcję f w branie kwantowej U_f

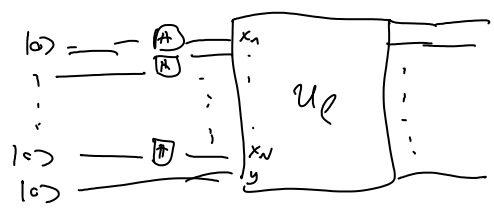
$$\begin{array}{ccc}
 |x\rangle |y\rangle & \xrightarrow{U_f} & |x\rangle |y \oplus f(x)\rangle \\
 \begin{array}{l} \uparrow \\ \text{qubit} \\ \text{z argumentem} \\ \text{funkcji} \end{array} & & \begin{array}{l} \uparrow \\ \text{dokładnie} \\ \text{mod 2} \end{array}
 \end{array}
 \quad
 \begin{array}{l}
 U_f \\
 \left\{ \begin{array}{l} |0\rangle|0\rangle \rightarrow |0\rangle|0 \oplus f(0)\rangle \\ |0\rangle|1\rangle \rightarrow |0\rangle|1 \oplus f(0)\rangle \\ |1\rangle|0\rangle \rightarrow |1\rangle|0 \oplus f(1)\rangle \\ |1\rangle|1\rangle \rightarrow |1\rangle|1 \oplus f(1)\rangle \end{array} \right. \\
 \text{jest to op. unitarna}
 \end{array}$$



Wygląd tego nie obliczenia f a mamy stan $|\psi\rangle$ w którym pojawiają się wartości dla $f(0)$ i $f(1)$.
 „Liczny równoległy” $f(0)$ i $f(1)$ dzięki temu, że wpisaliśmy je superpozycje.

Ogólniej: $f: \{0,1\}^N \rightarrow \{0,1\}$ funkcja nr N bitów

$$|x_1, \dots, x_N, y\rangle \xrightarrow{U_f} |x_1, \dots, x_N, y \oplus f(x_1, \dots, x_N)\rangle$$



$$\begin{aligned}
 |0\rangle^{\otimes N} |0\rangle & \xrightarrow{H^{\otimes N} \otimes 1} \left(\frac{1}{\sqrt{2}} (|0\rangle + |1\rangle) \right)^{\otimes N} \otimes |0\rangle = \\
 & = \frac{1}{\sqrt{2^N}} (|0\rangle \dots |0\rangle + |0\rangle \dots |1\rangle + \dots + |1\rangle \dots |1\rangle) \otimes |0\rangle \xrightarrow{U_f} \\
 & = \frac{1}{\sqrt{2^N}} (|0\rangle \dots |0\rangle \otimes |f(0, \dots, 0)\rangle + |0\rangle \dots |1\rangle \otimes |f(0, \dots, 1)\rangle + \dots + |1\rangle \dots |1\rangle \otimes |f(1, \dots, 1)\rangle)
 \end{aligned}$$

Parallelizm w jednym obliczeniu wartości funkcji f dla

„Policzylismy” w jednym obliczeniu wartości funkcji f dla wszystkich 2^N możliwych danych wejściowych.

Nadzieja na wyliczenie szeregu obliczeń! Ale nie tak szybko - nie istnieje planowa procedura jednoznaczna dostająca wszystkie wartości f , mimo że bierze $(a, \dots, a), \dots, (1, \dots, 1)$. Stąd szuka się nowa na drodze z rotami superpozycji i ponownie tylko jedna wartość f, \dots

Ale może są problemy w takich takich obliczeniach wszystkich f jest elementem pośrednim a nie koniec charakterystyczny funkcji tylko f i wystający problem planu drogi pośredni wynik.

Algorytm Deutsch

Najprostszym: całkowicie nieprzydany ale cenny dyktando (nie)

Rewersing funkcji $f: \{0,1\} \rightarrow \{0,1\}$.

Pytamy się czy funkcja jest różnowartościowa?

Klasyczne funkcje muszą policy i 2 razy.

A jak mamy podać kwantowe wystający rot

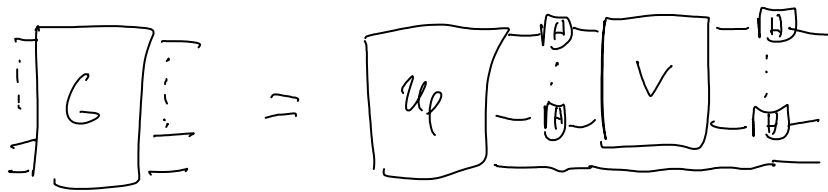
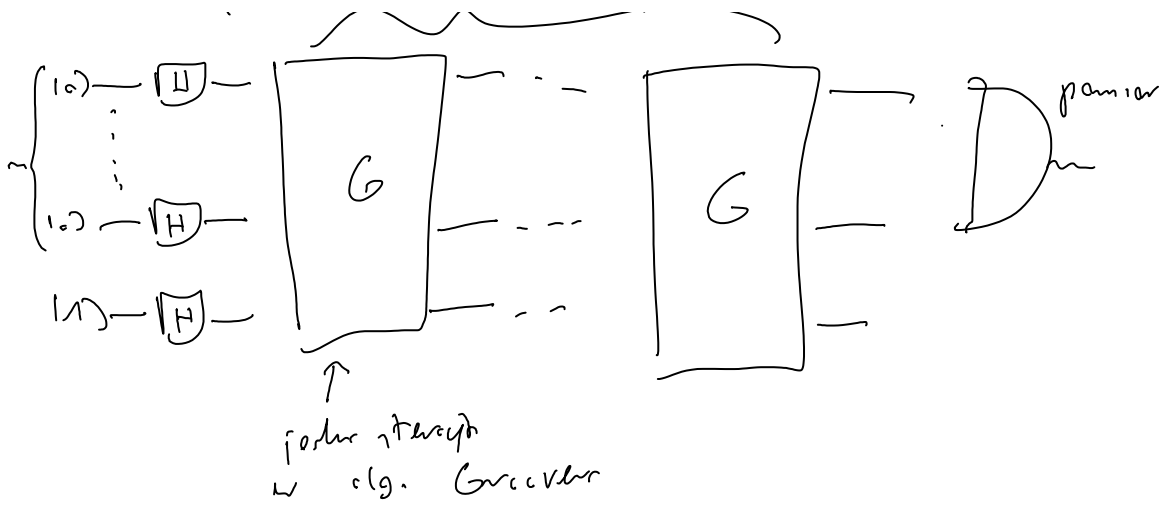


$$U_f(x, y) = |x, y \oplus f(x)\rangle$$

$$\begin{aligned} & \frac{1}{\sqrt{2}}(|0\rangle + |1\rangle) \otimes \frac{1}{\sqrt{2}}(|0\rangle - |1\rangle) \xrightarrow{U_f} \frac{1}{2}(|0\rangle(|f(0)\rangle - |1 \oplus f(0)\rangle) \\ & \quad + |1\rangle(|f(1)\rangle - |1 \oplus f(1)\rangle)) = \\ & = \frac{1}{2} \left((-1)^{f(0)} |0\rangle(|0\rangle - |1\rangle) + (-1)^{f(1)} |1\rangle(|0\rangle - |1\rangle) \right) = \\ & = \frac{1}{2} \left((-1)^{f(0)} |0\rangle + (-1)^{f(1)} |1\rangle \right) \otimes \frac{1}{\sqrt{2}}(|0\rangle - |1\rangle) \xrightarrow{H \otimes I} \\ & = \frac{1}{2\sqrt{2}} \left((-1)^{f(0)} (|0\rangle + |1\rangle) + (-1)^{f(1)} (|0\rangle - |1\rangle) \right) \otimes \frac{1}{\sqrt{2}}(|0\rangle - |1\rangle) = \\ & = \left(\frac{1}{2} \left[(-1)^{f(0)} + (-1)^{f(1)} \right] |0\rangle + \frac{1}{2} \left[(-1)^{f(0)} - (-1)^{f(1)} \right] |1\rangle \right) \otimes \frac{1}{\sqrt{2}}(|0\rangle - |1\rangle) \end{aligned}$$

1 - 1 stała
0 - 1. wartość

1 - 1 wartość.
0 - 0 stała



V - up unitary $\dagger = V$ $V|0\rangle = |c\rangle$
 $V|x\rangle = -|x\rangle, x \neq c$

$$V = 2|c\rangle\langle c| - \mathbb{1}$$

$$H^{\otimes N} V H^{\otimes N} = 2|\psi\rangle\langle\psi| - \mathbb{1} \quad , \text{ gdzie}$$

$$|\psi\rangle = \frac{1}{\sqrt{N}} \sum_x |x\rangle$$

Całki: $G = (2|\psi\rangle\langle\psi| - \mathbb{1}) U_f$

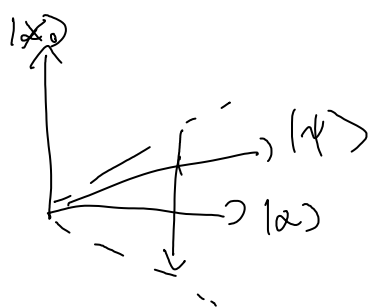
Mez $|x_0\rangle$ - bledzi odpowiadaj sarkonem stanem

Mez $|\alpha\rangle = \frac{1}{\sqrt{N-1}} \sum_{x \neq x_0} |x\rangle$ bledzi superpozycja pozostałych stanów.

Rozwini jeli daznito G na superpozycje $|x\rangle$ i $|\alpha\rangle$

Zauwamy il
 polprezentacji-
 $|\psi\rangle = \frac{\sqrt{N-1}}{\sqrt{N}} |\alpha\rangle + \frac{1}{\sqrt{N}} |x_0\rangle$

$$G(a|\alpha\rangle + b|x_0\rangle) = (2|\psi\rangle\langle\psi| - 1)(a|\alpha\rangle + b|x_0\rangle)$$



odwinięte względem
kierunku $|\alpha\rangle$

$$= 2|\psi\rangle\left(\frac{\sqrt{N-1}}{N}a - \frac{1}{\sqrt{N}}b\right) - (a|\alpha\rangle + b|x_0\rangle) =$$



odwinięte względem $|\psi\rangle$

$$= 2\frac{\sqrt{N-1}}{N}a|\alpha\rangle - 2\frac{1}{\sqrt{N}}b|x_0\rangle + \frac{2\sqrt{N-1}}{N}a|x_0\rangle - \frac{2\sqrt{N-1}}{N}b|\alpha\rangle -$$

$$- (a|\alpha\rangle + b|x_0\rangle) =$$

$$= \left(2a - \frac{2a}{N} - \frac{2\sqrt{N-1}}{N}b - a\right)|\alpha\rangle + \left(b - \frac{2b}{\sqrt{N}} + \frac{2\sqrt{N-1}}{N}a\right)|x_0\rangle$$

$$= \left(a\left(1 - \frac{2}{N}\right) - b\frac{2\sqrt{N-1}}{N}\right)|\alpha\rangle + \left(b\left(1 - \frac{2}{\sqrt{N}}\right) + a\frac{2\sqrt{N-1}}{N}\right)|x_0\rangle$$

Czyli po prostu obrót o kąt θ :

$$\cos\theta = 1 - \frac{2}{N} \quad \theta = \arccos\left(1 - \frac{2}{N}\right)$$

W Alg. Grovera startujemy ze stanu $|\psi\rangle$

$$|\psi\rangle = \sqrt{\frac{N-1}{N}}|\alpha\rangle + \frac{1}{\sqrt{N}}|x_0\rangle =$$

$$= \cos\frac{\theta}{2}|\alpha\rangle + \sin\frac{\theta}{2}|x_0\rangle$$

I w każdym kroku obracamy się o kąt θ

Czyli po k iteracjach:

$$G^k|\psi\rangle = \cos\left(\frac{2k+1}{2}\theta\right)|\alpha\rangle + \sin\left(\frac{2k+1}{2}\theta\right)|x_0\rangle$$

$$\text{Jeśli } N \text{ b. duże} \quad \theta \approx \frac{2\sqrt{N-1}}{N} \approx \frac{2}{\sqrt{N}}$$

Jeli N b. duzi $\theta \approx \frac{2\sqrt{N-1}}{N} \approx \frac{2}{\sqrt{N}}$

Chy, i by $2\frac{k+1}{2}\theta \approx \frac{\pi}{2}$

$$(2k+1) \cdot \frac{2}{\sqrt{N}} = \pi \quad k \approx \sqrt{N}$$

Czli kwadratowe przypu siebie \sim pierwiastkom
2 o logarytmu \log_2 systemu. \log_2 systemu.